

УКРАЇНА



ПАТЕНТ

НА КОРИСНУ МОДЕЛЬ
№ 93346

СПОСІБ ЛАЗЕРНОЇ ПОЛЯРИМЕТРИЧНОЇ ДІАГНОСТИКИ
ПОЛІКРИСТАЛІЧНИХ МЕРЕЖ ПЛВОК БІОЛОГІЧНИХ
РІДИН

Видано відповідно до Закону України "Про охорону прав на винаходи і корисні моделі".

Зареєстровано в Державному реєстрі патентів України на корисні моделі **25.09.2014.**

Голова Державної служби
інтелектуальної власності України

— М.В. Ковіня



(19) UA

(51) МПК

A61B 18/20 (2006.01)

G01N 33/49 (2006.01)

(21) Номер заявки: u 2014 04657

(22) Дата подання заявки: 30.04.2014

(24) Дата, з якої є чинними права на корисну модель: 25.09.2014

(46) Дата публікації відомостей про видачу патенту та Бюл. № 18 номер бюллетеня:

(72) Винахідники:
Іващук Олександр Іванович,
UA,
Савіч Валентина
Олександровна, UA,
Махрова Євгенія Григорівна,
UA,
Григоришин Петро
Михайлович, UA

(73) Власник:
**БУКОВИНСЬКИЙ
ДЕРЖАВНИЙ МЕДИЧНИЙ
УНІВЕРСИТЕТ МОЗ УКРАЇНИ,**
пл. Театральна, 2, м. Чернівці,
58002, UA

(54) Назва корисної моделі:

СПОСІБ ЛАЗЕРНОЇ ПОЛЯРИМЕТРИЧНОЇ ДІАГНОСТИКИ ПОЛІКРИСТАЛІЧНИХ МЕРЕЖ ПЛІВОК БІОЛОГІЧНИХ РІДИН

(57) Формула корисної моделі:

Спосіб лазерної поляриметричної діагностики полікристалічних мереж плівок біологічних рідин шляхом проведення лазерної поляриметрії, який відрізняється тим, що встановлюють відмінності значень моментів 3-го і 4-го порядків: статистичних - 2,0-3,0 і 2,0-7,0, 2,0-3,0 і 2,0-7,0; 1,5-2,5; кореляційних - 2,0-5,0 і 2,0-4,0, 3,3-2,7 і 2,1-2,5, 1,5-3,0; спектральних-логарифмічних залежностей джонс-матричних зображень - 1,5-2,0 і 1,5-3,0, 1,45-1,68 разів та 15-30 % відповідно для полікристалічних мереж плазми крові і жовчі для здорових людей та синовіальної рідини в нормі та патології.



УКРАЇНА

(19) UA

(51) МПК

(11) 93346

(13) U

A61B 18/20 (2006.01)

G01N 33/49 (2006.01)

ДЕРЖАВНА СЛУЖБА
ІНТЕЛЕКТУАЛЬНОЇ
ВЛАСНОСТІ
УКРАЇНИ

(12) ОПИС ДО ПАТЕНТУ НА КОРИСНУ МОДЕЛЬ

(21) Номер заявики: u 2014 04657

(22) Дата подання заявики: 30.04.2014

(24) Дата, з якої є чинними права на корисну модель:

(46) Публікація відомостей 25.09.2014, Бюл.№ 18 про видачу патенту:

(72) Винахідник(и):

Іващук Олександр Іванович (UA),
Савіч Валентина Олександровна (UA),
Махрова Євгенія Григорівна (UA),
Григоришин Петро Михайлович (UA)

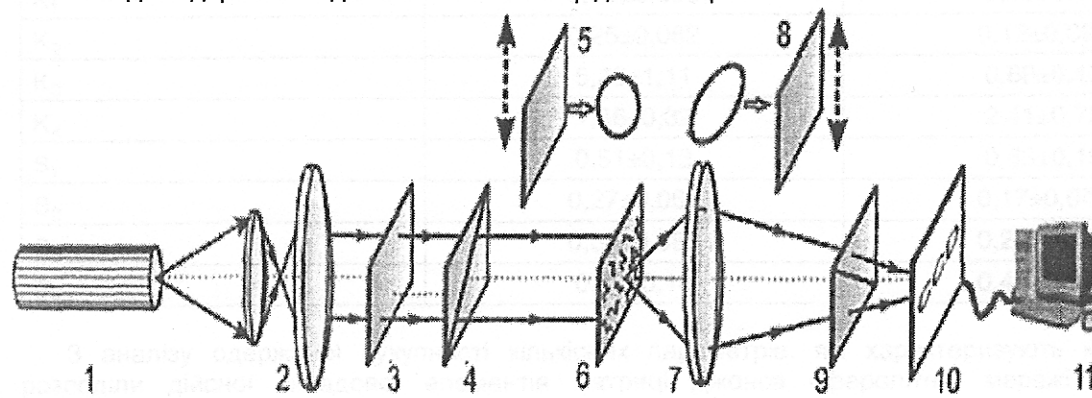
(73) Власник(и):

БУКОВИНСЬКИЙ ДЕРЖАВНИЙ
МЕДИЧНИЙ УНІВЕРСИТЕТ МОЗ УКРАЇНИ,
пл. Театральна, 2, м. Чернівці, 58002 (UA)

(54) СПОСІБ ЛАЗЕРНОЇ ПОЛЯРИМЕТРИЧНОЇ ДІАГНОСТИКИ ПОЛІКРИСТАЛІЧНИХ МЕРЕЖ ПЛІВОК БІОЛОГІЧНИХ РІДИН

(57) Реферат:

Спосіб лазерної поляриметричної діагностики полікристалічних мереж плівок біологічних рідин шляхом проведення лазерної поляриметрії. Встановлені відмінності значень моментів 3-го і 4-го порядків: статистичні - 2,0-3,0 і 2,0-7,0, 2,0-3,0 і 2,0-7,0; 1,5-2,5; кореляційні - 2,0-5,0 і 2,0-4,0, 3,3-2,7 і 2,1-2,5, 1,5-3,0; спектральних-логарифмічних залежностей джонс-матричних зображень - 1,5-2,0 і 1,5-3,0, 1,45-1,68 разів та 15-30 %, відповідно, для полікристалічних мереж плазми крові і жовчі для здорових людей та синовіальної рідини в нормі та патології.



Фіг.

Фіг. схематичне зображення лазерної поляриметрії для діагностики полікристалічних мереж у біологічних рідинах. Спосіб поляриметрії полягає у виведенні залежності зображення джонс-матричного типу. Встановлені відмінності значень моментів 3-го і 4-го порядків: статистичні - 2,0-3,0 і 2,0-7,0, 2,0-3,0 і 2,0-7,0; 1,5-2,5; кореляційні - 2,0-5,0 і 2,0-4,0, 3,3-2,7 і 2,1-2,5, 1,5-3,0; спектральних-логарифмічних залежностей джонс-матричних зображень - 1,5-2,0 і 1,5-3,0, 1,45-1,68 разів та 15-30 %, відповідно, для полікристалічних мереж плазми крові і жовчі для здорових людей та синовіальної рідини в нормі та патології.

UA 93346 U

Теоретичні передумови здійснення способу, що заявляється. В основу моделювання властивостей біологічних рідин покладено універсальний підхід: морфологічна будова будь-якого типу біологічної рідини розглядається у вигляді двокомпонентної аморфно-кристалічної структури; кристалічна компонента являє собою архітектонічну сітку двопроменезаломлюючих кристалів, що поділяються за своєю кристалічною структурою на сферолітні, дендритні, кластерні та змішані мережі, які з оптичного погляду мають властивості одноосних кристалів; основними механізмами перетворення параметрів лазерного випромінювання такими біологічними кристалами є дихроїзм і двопроменезаломлення. У способі використані координатні розподіли дійсної складової елементів матриці Джонса $R_{11}(m \times n), R_{12;21}(m \times n)$ оптико-анізотропної структури полікристалічної мережі біологічних рідин та відповідні гістограми $N(R_{11}), N(R_{12;21})$ автокореляційні функції $G_{11}(\Delta x), G_{12;21}(\Delta x)$, логарифмічні спектральні залежності $LgJ(G_{11}), LgJ(G_{12;21})$ таких розподілів.

Способ здійснюється наступним чином. Координатні розподіли отримувались за допомогою оптичної схеми, яка наведена на кресленні, де 1-Не-Не лазер; 2 - коліматор; 3 - стаціонарна чвертьхвильова пластинка; 5, 8 - механічні рухомі чвертьхвильові пластинки; 4, 9 - поляризатор і аналізатор відповідно; 6 - об'єкт дослідження; 7 - мікрооб'єктив; 10-CCD камера; 11 - персональний комп'ютер.

У способі використовуються мазки:плазми крові здорових людей (21 зразок), табл. 2; жовчі здорових людей (21 зразок), табл. 3; синовіальної рідини здорових та хворих людей на остеоартрит (21 зразок), табл. 4.

Таблиця 2

Статистичні (M, σ, A, E), кореляційні ($K_{i=1;2;3;4}$), спектральні ($S_{i=1;2;3;4}$) моменти джонс-матричних зображень $R_{ik}(m \times n)$ полікристалічних мереж плівок плазми крові здорових людей

| Параметри | $R_{11}(m \times n)$ | $R_{12;21}(m \times n)$ |
|-----------|----------------------|-------------------------|
| M | $0,54 \pm 0,12$ | $0,15 \pm 0,036$ |
| σ | $0,43 \pm 0,092$ | $0,17 \pm 0,039$ |
| A | $1,26 \pm 0,41$ | $0,43 \pm 0,055$ |
| E | $3,17 \pm 0,075$ | $0,61 \pm 0,21$ |
| K_1 | $0,41 \pm 0,086$ | $0,49 \pm 0,11$ |
| K_2 | $0,25 \pm 0,062$ | $0,12 \pm 0,028$ |
| K_3 | $5,28 \pm 1,11$ | $0,68 \pm 0,13$ |
| K_4 | $1,86 \pm 0,32$ | $2,41 \pm 0,72$ |
| S_1 | $0,51 \pm 0,13$ | $0,63 \pm 0,19$ |
| S_2 | $0,27 \pm 0,061$ | $0,17 \pm 0,044$ |
| S_3 | $0,39 \pm 0,085$ | $0,23 \pm 0,061$ |
| S_4 | $0,57 \pm 0,14$ | $0,43 \pm 0,093$ |

З аналізу одержаної сукупності кількісних параметрів, які характеризують координатні розподіли дійсної складової елементів матриці Джонса сферолітної мережі біологічних кристалів випливає:

- установлені відмінності статистичних моментів 3-го у 2,0-3,0 рази і 4-го у 2,0-7,0 разів) порядків, які характеризують розподіли дійсної складової елементів матриці Джонса сферолітної мережі у порівнянні з аналогічними даними для дендритних мереж (табл. 2);
- відмінності для кореляційних моментів складають 2-5 разів (K_3) і 2-4 рази (K_4), відповідно;
- для спектральних моментів 3-го і 4-го порядків логарифмічних залежностей спектрів потужності дійсної складової матричних елементів виявлено відмінності від 1,5 до 2 разів.

Корисна модель належить до медицини, а саме терапії, і може бути використана при лазерній поляриметричній діагностиці полікристалічних мереж плазми крові, жовчі та синовіальної рідини в нормі та патології.

Відомо, що з біохімічного погляду основною парціальною двопроменезаломлюючою

5 структурою синовіальної рідини є її рідкоクリсталічна фаза, що складається із сукупності оптично-одноосьових двопроменезаломлюючих кристалів різних типів: колоїдних розчинів та сукупність формених елементів. З оптико-геометричного погляду такі утворення формують складні різномасштабні оптико-анізотропні дендритно-сферолітні полікристалічні мережі. Вимірювання статистичних моментів 3-го і 4-го порядків, які характеризують дійсні складові 10 координатних розподілів елементів матриці Джонса плівки ап'єріорі невідомої біологічної рідини, на основі порівняльного аналізу з класифікаційними мапами дозволяє з чутливістю 80-90 % визначити тип полікристалічної мережі плівки біологічної рідини. (Основи лазерної поляриметрії. Вектор-параметрична діагностика патофізіологічного стану біологічних тканин людини / О.Г. Ушенко, Т.М. Бойчук, О.П. Пересунько, В.П. Унгурян. - Чернівецький нац. ун-т., 2010. - 15 576 с.).

Аналогом способу є дослідження de Boer J.F. (Two-dimensional birefringence imaging in biological tissue by polarization-sensitive optical coherence tomography / J.F. de Boer, T.E. Milner, M.J. van Gemert, J.S. Nelson // Opt. Lett. - 1997. - Vol. 22, № 12. - P. 934-936), у якому використовується низькогерентний інтерферометр Майкельсона, отримується двомірне лазерне зображення коров'ячого сухожилля в залежності від глибини. Методика дозволяє швидко і безконтактно дослідити тканину за допомогою структурних двопроменезаломлюючих властивостей двовимірних лазерних зображень.

Недоліком аналога-способу є те, що не виконується статистична обробка лазерних поляризаційних зображень.

25 Прототипом способу є дослідження В.В. Тучина (Тучин В.В. Исследование биотканей методами светорассеяния / В.В. Тучин // Успехи физ. наук. - 1997. - Т.167. - С. 517-539), у якому вивчаються біотканини з сильним (багаторазовим) розсіюванням світлового потоку, такі, як шкіра, тканини мозку, стінка судини, а також, які слабо розсіюють та володіють значним пропусканням, такі, як прозорі тканини ока (рогівка, кришталік). Для тканин з сильним розсіюванням опис розповсюдження світла (лазерних пучків) будеться на основі теорії переносу випромінювання або чисельного моделювання методом Монте-Карло. Поляризаційні явища розглядаються в сильно і слаборозсіюючих біотканинах.

30 Недолік прототипу-способу полягає в тому, що аналізуються лазерні зображення біологічних тканин, без врахування аналізу лазерних зображень біологічних рідин, не використовуються статистичні моменти, кореляційні та спектральні параметри розподілів елементів матриці Джонса.

35 В основі корисної моделі лежить задача встановити відмінності моментів 3-го і 4-го порядків: статистичних; кореляційних; спектральних логарифмічних залежностей дійсної складової джонс-матричних зображень для полікристалічних мереж плазми крові і жовчі для здорових людей та синовіальної рідини в нормі та патології відповідно.

40 40 Ознаки винаходу: лазерні поляризаційні зображення, статистичні моменти, кореляційні моменти, спектральні моменти логарифмічних залежностей складової джонс-матричних лазерних зображень.

45 Спільними ознаками прототипу та способу, що заявляється, є те, що для аналізу оптико-анізотропних біологічних рідин використовують лазерні поляризаційні зображення.

Відмінності корисної моделі від прототипу наведені в табл. 1.

Таблиця 1

Порівняння корисної моделі та прототипу за ознаками

| Ознаки | Корисна модель | Прототип |
|---|----------------|----------|
| поляризаційні лазерні зображення | + | + |
| статистичні моменти | + | - |
| кореляційні моменти | + | - |
| спектральні моменти логарифмічних залежностей складової джонс-матричних зображень | + | - |

50 Визначення термінів, які використовуються при описі винаходу: лазерна поляриметрія, елементи матриці Джонса, статистичні, кореляційні та спектральні моменти.

Таблиця 3

Статистичні (M, σ, A, E) , кореляційні ($K_{i=1;2;3;4}$) , спектральні ($S_{i=1;2;3;4}$) моменти джонс-матричних зображень $R_{ik} (m \times n)$ полікристалічних мереж жовчі здорових людей

| Параметри | $R_{11} (m \times n)$ | $R_{12;21} (m \times n)$ |
|-----------|-----------------------|--------------------------|
| M | $0,61 \pm 0,19$ | $0,23 \pm 0,055$ |
| σ | $0,49 \pm 0,12$ | $0,31 \pm 0,069$ |
| A | $0,45 \pm 0,097$ | $0,97 \pm 0,19$ |
| E | $0,89 \pm 0,13$ | $0,85 \pm 0,33$ |
| K_1 | $0,51 \pm 0,105$ | $0,57 \pm 0,15$ |
| K_2 | $0,29 \pm 0,072$ | $0,21 \pm 0,47$ |
| K_3 | $1,19 \pm 0,34$ | $0,56 \pm 0,13$ |
| K_4 | $5,88 \pm 1,44$ | $2,12 \pm 0,49$ |
| S_1 | $0,58 \pm 0,16$ | $0,72 \pm 0,16$ |
| S_2 | $0,29 \pm 0,71$ | $0,21 \pm 0,077$ |
| S_3 | $0,48 \pm 0,11$ | $0,29 \pm 0,085$ |
| S_4 | $0,79 \pm 0,18$ | $0,47 \pm 0,091$ |

Виявлена зміна статистичних моментів 3-го порядку у 2,0-3,0 рази і 4-го порядку у 2,0-7,0 разів, які характеризують розподіли дійсної складової елементів матриці Джонса кластерної мережі у порівнянні з аналогічними даними для дендритних і сферолітних мереж.

Кореляційні моменти відрізняються у 2,3-2,7 разу (K_3) і 2,1-2,5 разу (K_4), відповідно.

Для спектральних моментів 3-го (S_3) і 4-го (S_4) порядків логарифмічних залежностей спектрів потужності дійсної складової матричних елементів різних типів $R_{ik} (\rho) R_{ik} (\delta)$ виявлено відмінності від 1,45 до 1,68 разу (табл. 3).

10

Таблиця 4

Статистичні (M, σ, A, E) , кореляційні ($K_{i=1;2;3;4}$) , спектральні ($S_{i=1;2;3;4}$) моменти джонс-матричних зображень $R_{ik} (m \times n)$ полікристалічних мереж синовіальної рідини здорової та хворої на остеоартрит людини (21 зразок)

| Параметри | $R_{11} (m \times n)$ | | $R_{12;21} (m \times n)$ | |
|-----------|-----------------------|------------------|--------------------------|------------------|
| | Норма | Остеоартрит | Норма | Остеоартрит |
| M | $0,47 \pm 0,16$ | $0,63 \pm 0,14$ | $0,13 \pm 0,033$ | $0,16 \pm 0,038$ |
| σ | $0,19 \pm 0,022$ | $0,11 \pm 0,019$ | $0,28 \pm 0,064$ | $0,23 \pm 0,052$ |
| A | $3,15 \pm 0,67$ | $2,02 \pm 0,47$ | $0,88 \pm 0,19$ | $0,91 \pm 0,22$ |
| E | $2,64 \pm 0,53$ | $1,11 \pm 0,36$ | $2,48 \pm 0,58$ | $2,88 \pm 0,51$ |
| K_1 | $0,43 \pm 0,097$ | $0,51 \pm 0,062$ | $0,43 \pm 0,094$ | $0,46 \pm 0,097$ |
| K_2 | $0,15 \pm 0,037$ | $0,22 \pm 0,043$ | $0,13 \pm 0,035$ | $0,17 \pm 0,044$ |
| K_3 | $0,37 \pm 0,075$ | $0,18 \pm 0,029$ | $0,78 \pm 0,19$ | $0,59 \pm 0,24$ |
| K_4 | $1,28 \pm 0,32$ | $0,52 \pm 0,077$ | $2,28 \pm 0,49$ | $1,89 \pm 0,38$ |
| S_1 | $0,59 \pm 0,14$ | $0,43 \pm 0,088$ | $0,77 \pm 0,18$ | $0,71 \pm 0,13$ |
| S_2 | $0,21 \pm 0,048$ | $0,39 \pm 0,071$ | $0,27 \pm 0,061$ | $0,24 \pm 0,056$ |
| S_3 | $0,49 \pm 0,11$ | $0,88 \pm 0,14$ | $0,35 \pm 0,072$ | $0,27 \pm 0,058$ |
| S_4 | $0,61 \pm 0,15$ | $1,89 \pm 0,34$ | $0,46 \pm 0,088$ | $0,34 \pm 0,072$ |

Порівняльний аналіз набору статистичних, кореляційних і спектральних параметрів, які характеризують координатні розподіли значень дійсної складової елементів матриці Джонса оптико-анізотропних дендритно-сферолітних структур шару синовіальної рідини, показав (табл. 4), що:

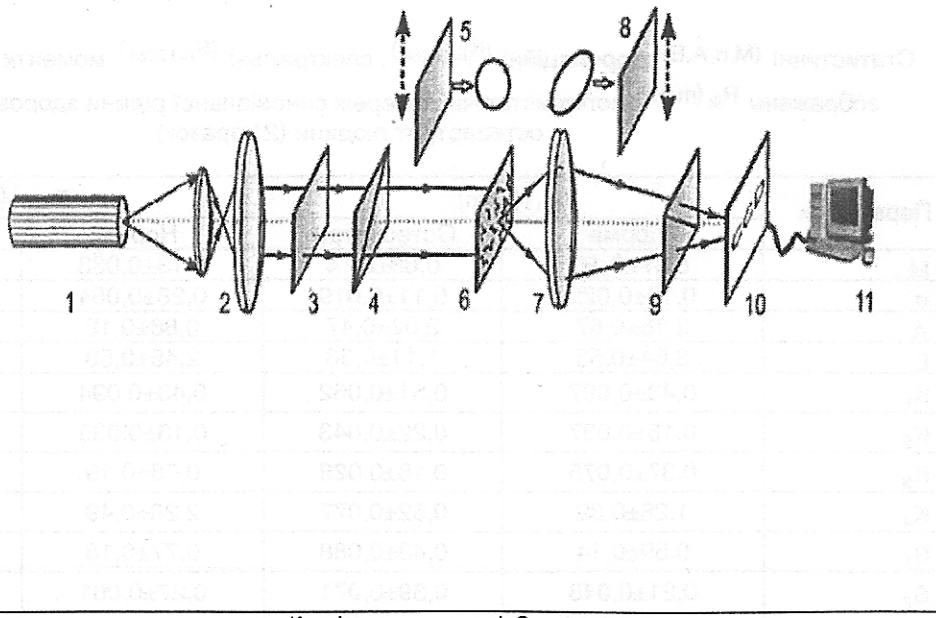
- 5 • відмінності між середнім, дисперсією, асиметрією та ексцесом розподілів дійсної складової $R_{11}(m \times n)$ елементів матриці Джонса складають 1,5-2,5 рази;
- кореляційні моменти відрізняються у 1,5-3,0 рази;
- різниця між величинами спектральних моментів знаходиться у межах від 1,4 до 3,3 разу;
- значення всіх груп параметрів дійсної складової елементів $R_{12;21}(m \times n)$ матриці Джонса достатньо близькі - відмінності між ними не перевищують 15-30 %.

У способі наведено матеріали дослідження статистичних, кореляційних і спектральних моментів 1-го- 4-го порядків, які характеризують координатні розподіли дійсної складової елементів матриці Джонса полікристалічних плівок біологічних рідин організму людини - плазма крові, жовч в нормі та синовіальна рідина в нормі та патології. Для кожного типу плівок біологічної рідини установлені величини та діапазони зміни всіх груп статистичних параметрів джонс-матричних зображень оптико-анізотропної складової.

Технічний результат: згідно зі способом встановлені відмінності моментів 3-го і 4-го порядків: статистичні - 2,0-3,0 і 2,0-7,0, 2,0-3,0 і 2,0-7,0; 1,5-2,5; кореляційні - 2,0-5,0 і 2,0-4,0, 3,3-2,7 і 2,1-2,5, 1,5-3,0; спектральні логарифмічних залежностей дійсної складової джонс-матричних зображень - 1,5-2,0, 1,5-3,0 і 1,45-1,68 разів та 15-30 % відповідно для полікристалічних мереж плазми крові і жовчі для здорових людей та синовіальної рідини в нормі та патології.

ФОРМУЛА КОРИСНОЇ МОДЕЛІ

Способ лазерної поляриметричної діагностики полікристалічних мереж плівок біологічних рідин шляхом проведення лазерної поляриметрії, який відрізняється тим, що встановлюють відмінності значень моментів 3-го і 4-го порядків: статистичні - 2,0-3,0 і 2,0-7,0, 2,0-3,0 і 2,0-7,0; 1,5-2,5; кореляційні - 2,0-5,0 і 2,0-4,0, 3,3-2,7 і 2,1-2,5, 1,5-3,0; спектральних-логарифмічних залежностей джонс-матричних зображень - 1,5-2,0 і 1,5-3,0, 1,45-1,68 разів та 15-30 % відповідно для полікристалічних мереж плазми крові і жовчі для здорових людей та синовіальної рідини в нормі та патології.



Ком'ютерна верстка І. Скворцова

Державна служба інтелектуальної власності України, вул. Урицького, 45, м. Київ, МСП, 03680, Україна

ДП "Український інститут промислової власності", вул. Глазунова, 1, м. Київ – 42, 01601